

Starkniederschlagshöhen und -spenden gemäß KOSTRA-DWD-2020

Rasterfeld 208171

(Zeile 208, Spalte 171)

Regenspende und Bemessungsniederschlagswerte in Abhängigkeit von Wiederkehrzeit T und Dauerstufe D

| Dauerstufe D | | Wiederkehrzeit T | | | | | | | | | | | | | | | | | |
|--------------|-----|------------------|------------|-------|------------|-------|------------|-------|------------|-------|------------|-------|------------|-------|------------|-------|------------|-------|------------|
| | | 1 a | | 2 a | | 3 a | | 5 a | | 10 a | | 20 a | | 30 a | | 50 a | | 100 a | |
| min | Std | mm | l / (s ha) | mm | l / (s ha) | mm | l / (s ha) | mm | l / (s ha) | mm | l / (s ha) | mm | l / (s ha) | mm | l / (s ha) | mm | l / (s ha) | mm | l / (s ha) |
| 5 | | 7,8 | 260,0 | 9,5 | 316,7 | 10,5 | 350,0 | 11,9 | 396,7 | 13,8 | 460,0 | 15,8 | 526,7 | 17,1 | 570,0 | 18,8 | 626,7 | 21,3 | 710,0 |
| 10 | | 10,6 | 176,7 | 12,8 | 213,3 | 14,2 | 236,7 | 16,1 | 268,3 | 18,7 | 311,7 | 21,4 | 356,7 | 23,2 | 386,7 | 25,5 | 425,0 | 28,8 | 480,0 |
| 15 | | 12,4 | 137,8 | 15,0 | 166,7 | 16,6 | 184,4 | 18,8 | 208,9 | 21,8 | 242,2 | 25,0 | 277,8 | 27,1 | 301,1 | 29,8 | 331,1 | 33,7 | 374,4 |
| 20 | | 13,8 | 115,0 | 16,7 | 139,2 | 18,5 | 154,2 | 20,8 | 173,3 | 24,2 | 201,7 | 27,7 | 230,8 | 30,0 | 250,0 | 33,0 | 275,0 | 37,4 | 311,7 |
| 30 | | 15,8 | 87,8 | 19,1 | 106,1 | 21,2 | 117,8 | 23,9 | 132,8 | 27,8 | 154,4 | 31,9 | 177,2 | 34,5 | 191,7 | 38,0 | 211,1 | 42,9 | 238,3 |
| 45 | | 18,0 | 66,7 | 21,9 | 81,1 | 24,2 | 89,6 | 27,3 | 101,1 | 31,8 | 117,8 | 36,4 | 134,8 | 39,4 | 145,9 | 43,4 | 160,7 | 49,0 | 181,5 |
| 60 | 1 | 19,8 | 55,0 | 23,9 | 66,4 | 26,5 | 73,6 | 29,9 | 83,1 | 34,8 | 96,7 | 39,9 | 110,8 | 43,2 | 120,0 | 47,5 | 131,9 | 53,7 | 149,2 |
| 90 | 1,5 | 22,4 | 41,5 | 27,2 | 50,4 | 30,1 | 55,7 | 34,0 | 63,0 | 39,5 | 73,1 | 45,2 | 83,7 | 49,0 | 90,7 | 53,9 | 99,8 | 60,9 | 112,8 |
| 120 | 2 | 24,5 | 34,0 | 29,7 | 41,3 | 32,9 | 45,7 | 37,1 | 51,5 | 43,1 | 59,9 | 49,4 | 68,6 | 53,5 | 74,3 | 58,9 | 81,8 | 66,5 | 92,4 |
| 180 | 3 | 27,7 | 25,6 | 33,5 | 31,0 | 37,2 | 34,4 | 41,9 | 38,8 | 48,8 | 45,2 | 55,9 | 51,8 | 60,5 | 56,0 | 66,6 | 61,7 | 75,2 | 69,6 |
| 240 | 4 | 30,2 | 21,0 | 36,6 | 25,4 | 40,5 | 28,1 | 45,7 | 31,7 | 53,2 | 36,9 | 60,9 | 42,3 | 65,9 | 45,8 | 72,6 | 50,4 | 82,0 | 56,9 |
| 360 | 6 | 34,1 | 15,8 | 41,3 | 19,1 | 45,7 | 21,2 | 51,6 | 23,9 | 60,0 | 27,8 | 68,7 | 31,8 | 74,4 | 34,4 | 81,9 | 37,9 | 92,6 | 42,9 |
| 540 | 9 | 38,5 | 11,9 | 46,6 | 14,4 | 51,6 | 15,9 | 58,2 | 18,0 | 67,7 | 20,9 | 77,5 | 23,9 | 84,0 | 25,9 | 92,4 | 28,5 | 104,5 | 32,3 |
| 720 | 12 | 41,9 | 9,7 | 50,7 | 11,7 | 56,2 | 13,0 | 63,4 | 14,7 | 73,8 | 17,1 | 84,4 | 19,5 | 91,5 | 21,2 | 100,6 | 23,3 | 113,8 | 26,3 |
| 1080 | 18 | 47,2 | 7,3 | 57,2 | 8,8 | 63,4 | 9,8 | 71,5 | 11,0 | 83,2 | 12,8 | 95,2 | 14,7 | 103,1 | 15,9 | 113,4 | 17,5 | 128,3 | 19,8 |
| 1440 | 24 | 51,4 | 5,9 | 62,3 | 7,2 | 69,0 | 8,0 | 77,8 | 9,0 | 90,5 | 10,5 | 103,7 | 12,0 | 112,3 | 13,0 | 123,5 | 14,3 | 139,6 | 16,2 |
| 2880 | 48 | 63,1 | 3,7 | 76,4 | 4,4 | 84,6 | 4,9 | 95,5 | 5,5 | 111,1 | 6,4 | 127,2 | 7,4 | 137,7 | 8,0 | 151,5 | 8,8 | 171,3 | 9,9 |
| 4320 | 72 | 71,1 | 2,7 | 86,1 | 3,3 | 95,4 | 3,7 | 107,6 | 4,2 | 125,2 | 4,8 | 143,3 | 5,5 | 155,2 | 6,0 | 170,8 | 6,6 | 193,1 | 7,4 |
| 5760 | 96 | 77,4 | 2,2 | 93,7 | 2,7 | 103,8 | 3,0 | 117,1 | 3,4 | 136,3 | 3,9 | 156,0 | 4,5 | 168,9 | 4,9 | 185,9 | 5,4 | 210,2 | 6,1 |
| 7200 | 120 | 82,6 | 1,9 | 100,1 | 2,3 | 110,9 | 2,6 | 125,1 | 2,9 | 145,5 | 3,4 | 166,6 | 3,9 | 180,4 | 4,2 | 198,5 | 4,6 | 224,4 | 5,2 |
| 8640 | 144 | 87,2 | 1,7 | 105,6 | 2,0 | 117,0 | 2,3 | 132,0 | 2,5 | 153,5 | 3,0 | 175,8 | 3,4 | 190,4 | 3,7 | 209,5 | 4,0 | 236,8 | 4,6 |
| 10080 | 168 | 91,2 | 1,5 | 110,5 | 1,8 | 122,4 | 2,0 | 138,1 | 2,3 | 160,7 | 2,7 | 184,0 | 3,0 | 199,2 | 3,3 | 219,2 | 3,6 | 247,8 | 4,1 |

Starkniederschlagshöhen und -spenden gemäß KOSTRA-DWD-2020

Rasterfeld 208171

(Zeile 208, Spalte 171)

Örtliche Unsicherheiten in Abhängigkeit von Wiederkehrzeit T und Dauerstufe D

| Dauerstufe D | | Wiederkehrzeit T | | | | | | | | |
|--------------|-----|------------------|-----|-----|-----|------|------|------|------|-------|
| | | 1 a | 2 a | 3 a | 5 a | 10 a | 20 a | 30 a | 50 a | 100 a |
| min | Std | ± % | ± % | ± % | ± % | ± % | ± % | ± % | ± % | ± % |
| 5 | | 20 | 21 | 22 | 22 | 23 | 23 | 23 | 24 | 24 |
| 10 | | 25 | 26 | 26 | 26 | 27 | 28 | 28 | 28 | 28 |
| 15 | | 26 | 27 | 28 | 28 | 29 | 29 | 30 | 30 | 30 |
| 20 | | 27 | 28 | 29 | 29 | 30 | 30 | 30 | 31 | 31 |
| 30 | | 27 | 28 | 29 | 29 | 30 | 30 | 31 | 31 | 31 |
| 45 | | 27 | 28 | 28 | 29 | 30 | 30 | 30 | 31 | 31 |
| 60 | 1 | 26 | 27 | 28 | 28 | 29 | 29 | 30 | 30 | 30 |
| 90 | 1,5 | 25 | 26 | 26 | 27 | 28 | 28 | 28 | 29 | 29 |
| 120 | 2 | 24 | 25 | 25 | 26 | 26 | 27 | 27 | 28 | 28 |
| 180 | 3 | 22 | 23 | 24 | 24 | 25 | 25 | 26 | 26 | 26 |
| 240 | 4 | 21 | 22 | 23 | 23 | 24 | 24 | 24 | 25 | 25 |
| 360 | 6 | 20 | 21 | 21 | 22 | 22 | 23 | 23 | 23 | 24 |
| 540 | 9 | 19 | 19 | 20 | 20 | 21 | 21 | 21 | 22 | 22 |
| 720 | 12 | 18 | 19 | 19 | 19 | 20 | 20 | 21 | 21 | 21 |
| 1080 | 18 | 18 | 18 | 18 | 19 | 19 | 20 | 20 | 20 | 21 |
| 1440 | 24 | 18 | 18 | 18 | 19 | 19 | 19 | 20 | 20 | 20 |
| 2880 | 48 | 19 | 19 | 19 | 19 | 20 | 20 | 20 | 20 | 20 |
| 4320 | 72 | 20 | 20 | 20 | 20 | 20 | 21 | 21 | 21 | 21 |
| 5760 | 96 | 22 | 21 | 21 | 21 | 21 | 21 | 22 | 22 | 22 |
| 7200 | 120 | 23 | 22 | 22 | 22 | 22 | 22 | 22 | 22 | 22 |
| 8640 | 144 | 24 | 23 | 23 | 23 | 23 | 23 | 23 | 23 | 23 |
| 10080 | 168 | 25 | 24 | 24 | 24 | 24 | 24 | 24 | 24 | 24 |

Parameter für abweichende T und D

Lokationsparameter ξ (Xi)

20,19601631

Skalenparameter α (Alpha)

5,93019582

Formparameter κ (Kappa)

-0,1

1. Koutsoyiannis-Parameter θ (Theta)

0,02977407

2. Koutsoyiannis-Parameter η (Eta)

0,70560155

Parameter für dauerstufenübergreifende Extremwertschätzung nach KOUTSOYIANNIS et al. 1998.

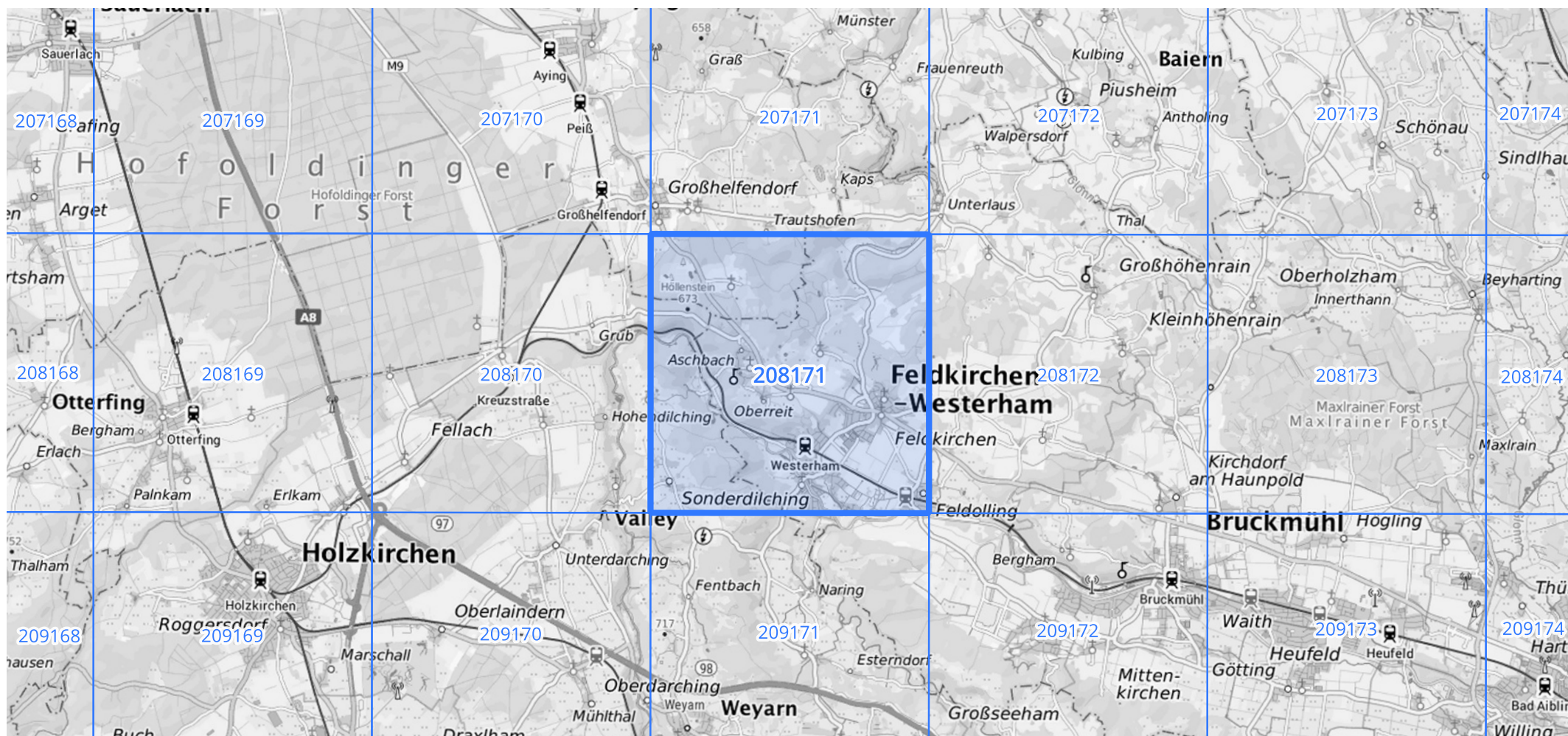
Siehe auch Anwendungshilfe zu KOSTRA-DWD-2020 des Deutschen Wetterdienstes.

Starkniederschlagshöhen und -spenden gemäß KOSTRA-DWD-2020

Rasterfeld 208171

(Zeile 208, Spalte 171)

Übersichtskarte des Rasterfeldes 208171, M 1 : 100 000



Quelle Rasterdaten: KOSTRA-DWD-2020 des Deutschen Wetterdienstes, Stand 12/2022.

Seite 3 von 3

Kartendarstellung: © Bundesamt für Kartographie und Geodäsie (2023), Datenquellen: https://sgx.geodatenzentrum.de/web_public/gdz/datenquellen/Datenquellen_TopPlusOpen.html

Für die Richtigkeit und Aktualität der Angaben wird keine Gewähr übernommen. Erstellt 01/2023.